

1. 目的

マスコンクリートの温度ひびわれ制御は、コンクリート構造物の大型化に伴い重要な問題になっている。マスコンクリート温度や温度応力に関する研究は多く実施されているにもかかわらず、温度ひびわれ制御の検討を行う場合重要な位置を占める、温度ひびわれ発生有無の評価に関する研究は比較的小ない。

従来広く行われているように、決定論的に温度ひびわれの発生有無を評価する場合、高度な解析手法を用いても、経験的な定数を採用することによってすでにその厳密性は失なわれている。特に、マスコンクリートの解析では、多くの要因に経験的なものが入りやすい。本研究は、マスコンクリートの温度ひびわれの発生が、多くの不確定要因を含む現象であるといった前提に立って、温度ひびわれの発生有無を確率論的に評価する方法について考察したものである。

2. マスコンクリートの温度ひびわれの分類

図-1にマスコンクリートで発生するひびわれの分類を示す。本研究の対象は、図中の点線で囲んだ温度収縮によるひびわれである。このひびわれを温度ひびわれとして、大きく二つに分けて取り扱っている。一つは、内部拘束による温度応力（図-2）が主原因で発生する温度ひびわれ（CRACK-Aと称す）と、他方は、外部拘束による温度応力（図-3）が主原因で発生する温度ひびわれ（CRACK-Bと称す）である。

3. 温度ひびわれ発生条件

CRACK-AおよびCRACK-Bの発生限界温度は、式①、②によて与えられると仮定する。（CRACK-A：部材内の温度差） $\cdots \cdots \cdots$ (1) $(\Delta T_{s,\max})_a = 0.22 / \{\alpha_c A(t) B(t)\}$ 式①、（CRACK-B：内部温度の最大値） $\cdots \cdots \cdots$ (2) $(T_{\max})_a = 1/3 \{4 / \{\alpha_c A(t) B(t) R\} + 4 T_m^t - (T_p + T_{s,r}(t))\}$ 式②ここに、 α_c ：線膨張係数、 $A(t)$ ：圧縮強度と静弾性係数の比率、 $B(t)$ ：クリープによる応力緩和率、 R ：外部拘束度、 T_m^t ：材令 t における平均温度(℃)、 T_p ：打込み温

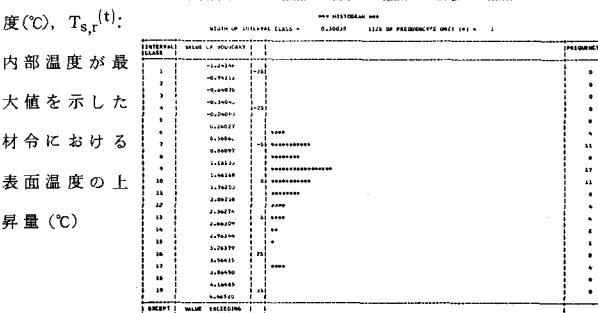


図-4 CRACK-Aが発生しなかったITCIのヒストグラム

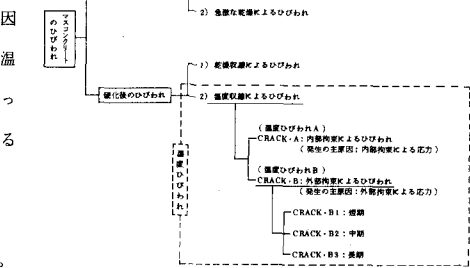


図-1 マスコンクリートで発生するひびわれの分類

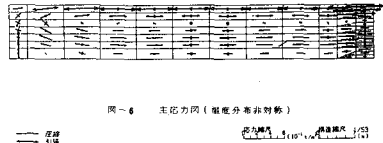


図-2 内部拘束による温度応力

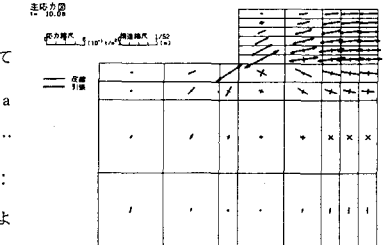


図-3 外部拘束による温度応力

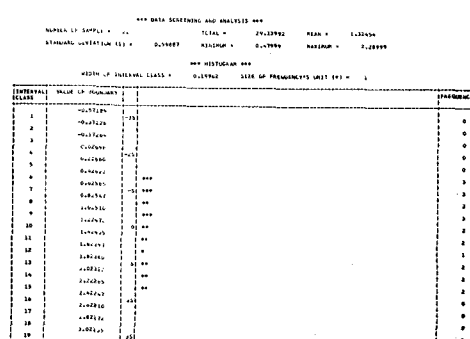
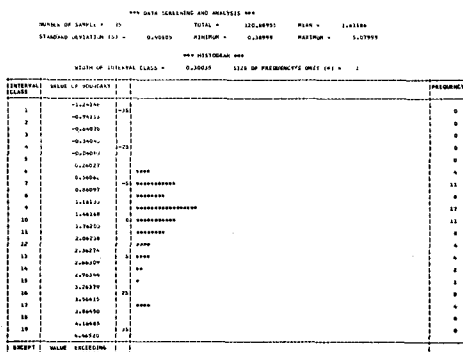


図-5 CRACK-Aが発生したITCIのヒストグラム

4. 温度ひびわれ発生有無の評価方法の提案

(1) 温度ひびわれ指標の定義 …… 式③, ④によって与えられる無次元数を温度ひびわれ指標と定義した。

(CRACK・Aに対する温度ひびわれ指標)

$$I\text{TCI} = (4T_{s,\max}^t)_a / 4T_{s,\max}^t \quad \text{式③}$$

(CRACK・Bに対する温度ひびわれ指標)

$$E\text{TCI} = (T_{\max}^t)_a / T_{\max}^t \quad \text{式④}$$

ここに, $4T_{s,\max}^t$ および T_{\max}^t は解析あるいは実測により求めたものである。

(2) 実測資料による温度ひびわれ指標の特性の解析 …… 式③および式④からわかるように, 温度ひびわれ指標は, 解析方法・精度, コンクリートの諸物性, 外的条件, 施工条件などの諸要因に左右されるため, 確率変数として評価するのが妥当と考えられる。

実構造物での実測資料を基にして, 温度ひびわれ指標の統計的性質について解析した。対象現場数は 60 であり, 解析に使用したデータ数は, CRACK・A が 97 個, CRACK・B が 148 個である。この内, ひびわれが発生しなかったものは, CRACK・A が 75 個, CRACK・B が 90 個, また, 発生したもののは CRACK・A が 22 個, CRACK・B が 58 個である。

図-4 から図-7 に各ケースの温度ひびわれ指標のヒストグラムを示す。

ITCI の標準偏差は 0.6 ~ 0.9 であり, ETCI の標準偏差 (約 0.2) に比べて大きい。ITCI のばらつきが大きい原因としては, 若材令コンクリートの物性の評価の難しさや, 部材表面部のコンクリート温度が外気温や日射等の影響を受けるため, ばらつきが大きいこと等が上げられる。

(3) 温度ひびわれ指標と温度ひびわれ発生確率との関係 …… 温度ひびわれ指標が分布 $N(\mu, \sigma)$ (ここに, μ : 平均値, σ : 標準偏差) を有すると仮定すると, 図-8 から次の関係を得る。 $X = \Phi^{-1}(p)$ (ここに, X : 温度ひびわれ指標, p : 累積確率) 図-9 および図-10 に温度ひびわれ指標 (ITCI, ETCI) と累積確率 p との関係を示す。これらの図から, 式③, ④によって与えられた温度ひびわれ指標に対して, 温度ひびわれが発生あるいは発生しない確率を求めることができる。一例として, 図-10 から $ETCI = 1.44$ の場合, CRACK・B 発生しない確率は 95 % であると評価できる。

(参考文献) 1) 塚山: マッシブな鉄筋コンクリート構造物の温度ひびわれ, セメント・コンクリート, №370, Dec. 1977, 2) 小野: マスコンクリートの温度ひびわれ制御に関する一考察, セメント技術年報33, 3) 小野: マスコンクリートの外部拘束による温度ひびわれ制御について, セメント技術年報34

*** DATA SCREENING AND ANALYSIS ***
NUMBER OF SAMPLES = 60 TOTAL = 0.740939 MEAN = 1.09299
STANDARD DEVIATION = 0.242126 MINIMUM = 0.369999 MAXIMUM = 1.175999
*** HISTOGRAM ***
WIDTH OF INTERVAL CLASS = 0.000001 SIZE OF FREQUENCY(S) UNIT (=) = 3

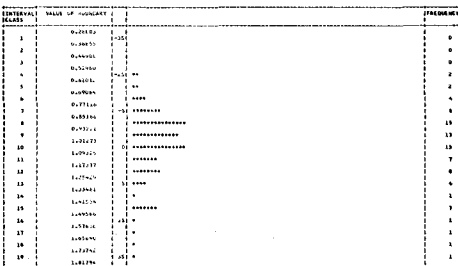


図-6 CRACK・Bが発生しなかったETCIのヒストグラム

*** DATA SCREENING AND ANALYSIS ***
NUMBER OF SAMPLES = 60 TOTAL = 0.740939 MEAN = 1.09299
STANDARD DEVIATION = 0.242126 MINIMUM = 0.369999 MAXIMUM = 1.175999
*** HISTOGRAM ***
WIDTH OF INTERVAL CLASS = 0.000001 SIZE OF FREQUENCY(S) UNIT (=) = 1

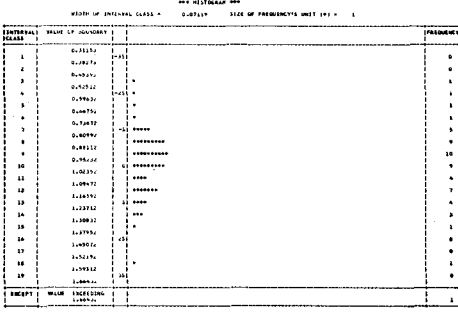


図-7 CRACK・Bが発生したETCIのヒストグラム

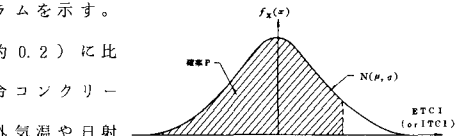


図-8 温度ひびわれ指標と確率との関係

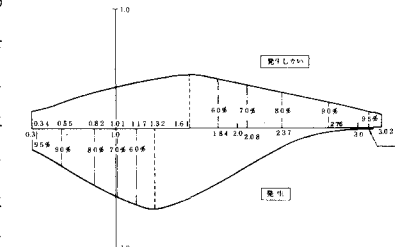


図-9 CRACK・Aの発生確率

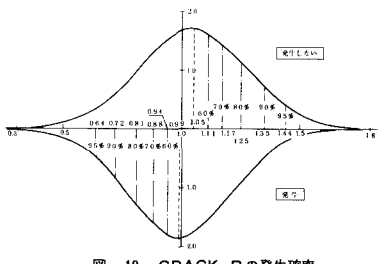


図-10 CRACK・Bの発生確率